



การทดสอบประสิทธิภาพของตัวชี้วัดเป้าหมายในการจับเก็บผู้น
โดยควบคุมวัฏจักรของเวลาเปิด-ปิดน้ำ

นายศุภวัฒน์ นาควิมล

วิทยานิพนธ์นี้เป็นส่วนหนึ่งของการศึกษาตามหลักสูตรปริญญาวิศวกรรมศาสตรบัณฑิต
สาขาวิชาบริหารและจัดการ เกียรตินิยมอันดับเอ็มบีบี
คณะวิศวกรรมศาสตร์ จุฬาลงกรณ์มหาวิทยาลัย
ปีการศึกษา 2545

ISBN 974-17-1611 -7

ลิขสิทธิ์ของจุฬาลงกรณ์มหาวิทยาลัย

EFFICIENCY TEST OF WETTED INCLINED SCREEN FOR COLLECTING DUST
BY ON-OFF CYCLE TIME CONTROL OF WATER

Mr. Supawat Nakvimon

A Thesis Submitted in Partial Fulfillment of the Requirements
for the Degree of Master of Engineering in Chemical Engineering

Department of Chemical Engineering

Faculty of Engineering

Chulalongkorn University

Academic Year 2002

ISBN 974-17-1611 -7

หัวข้อวิทยานิพนธ์

การทดสอบประสิทธิภาพของตัวข่ายเปียกເອີ້ນໃນการຈັບເກີບຜູ້
ໂດຍຄວບຄຸມວິຊາຂອງເວລາເປີດ-ປິດນໍ້າ

โดย

นายศุภวัฒน์ นาควิมล

สาขาวิชา

วิศวกรรมเคมี

อาจารย์ที่ปรึกษาวิทยานิพนธ์

ศาสตราจารย์ ดร. วิวัฒน์ ตัณฑะพาณิชกุล

คณะกรรมการฯ อนุมัติให้นับวิทยานิพนธ์ฉบับนี้เป็น^๑
ส่วนหนึ่งของการศึกษาตามหลักสูตรปริญญามหาบัณฑิต

คณบดีคณะวิศวกรรมศาสตร์

(ศาสตราจารย์ ดร.สมคก. พันย์ญาแก้ว)

คณะกรรมการสอบวิทยานิพนธ์

ประธานกรรมการ

(ผู้ช่วยศาสตราจารย์ ดร. วิจิตรา จงวิศาล)

อาจารย์ที่ปรึกษาวิทยานิพนธ์

(ศาสตราจารย์ ดร. วิวัฒน์ ตัณฑะพาณิชกุล)

กรรมการ

(ผู้ช่วยศาสตราจารย์ ดร. กิตปง เมืองนา)

กรรมการ

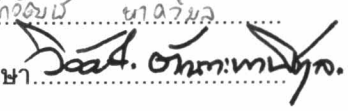
(รองศาสตราจารย์ ดร. Kovin Chaiwattanaporn)

ศุภวัฒน์ นาควิมล : การทดสอบประสิทธิภาพของตัวข่ายเปียกในการจับเก็บฝุ่นโดย
ควบคุมวัฏจักรของเวลาเปิด-ปิดน้ำ.(EFFICIENCY TEST OF WETTED INCLINED SCREEN
FOR COLLECTING DUST BY ON-OFF CYCLE TIME CONTROL OF WATER) อ.ที่ปรึกษา :

ศ.ดร. วิวัฒน์ ตันตะพาณิชกุล : 282 หน้า ISBN 974-17-1611 -7

งานวิจัยนี้เป็นการศึกษาประสิทธิภาพในการจับเก็บฝุ่น ของตัวข่าย HDPE ในชุดอุปกรณ์การทดสอบ
ที่ถูกจัดสร้างขึ้น และศึกษาถึงตัวแปรกระบวนการที่มีอิทธิพลต่อประสิทธิภาพการจับเก็บฝุ่นของตัวข่ายเปียก
อันได้แก่ ความเข้มข้นฝุ่น, ชนิดของฝุ่น (ฝุ่นหินและฝุ่น EVA), ความเร็วลมปราภูมิเวณตัวข่ายเปียก อัตรา
การไหลของน้ำที่เคลื่อนผ่านตัวข่าย, ช่วงเวลาของการเปิด-ปิดอัตราการไหลของน้ำ และลักษณะของการซึ่งตัว
ข่าย (แนวตั้ง และเอียง 10 องศาจากแนวตั้งไปด้านหน้า) นอกจากนี้ยังได้สังเกตปรากฏการณ์ที่เกิดขึ้นระหว่าง
การจับเก็บฝุ่น รวมถึงศึกษาลักษณะสมบัติของฝุ่นที่ใช้ในการทดลอง

จากการศึกษาลักษณะสมบัติของฝุ่นทั้ง 2 ชนิดพบว่า มีขนาดอนุภาคที่ความถี่สั่ง 50% เท่ากับ
4.71 และ 30.57 ไมโครเมตร สำหรับฝุ่นหินและฝุ่น EVA ตามลำดับ สำหรับประสิทธิภาพในการจับเก็บฝุ่นพบ
ว่าประสิทธิภาพในการจับเก็บฝุ่น EVA สูงกว่าฝุ่นหิน เนื่องจากขนาดอนุภาคของฝุ่น EVA ใหญ่กว่าฝุ่นหินมาก
และที่ความเร็วลมปราภูมิหน้าตัวข่ายเท่ากัน เมื่อความเข้มข้นฝุ่นขาเข้าเพิ่มขึ้น ประสิทธิภาพในการจับเก็บฝุ่น^๑
ทั้งสองชนิดจะเพิ่มขึ้นทั้งนี้เนื่องจากการเกิดชั้นเด็กของอนุภาคบนตัวข่ายได้หนาขึ้น ในการศึกษาระนีที่
ความเร็วปราภูมิหน้าตัวข่ายเปียกเพิ่มขึ้น ประสิทธิภาพในการจับเก็บฝุ่นจะเพิ่มขึ้น ทั้งนี้เนื่องมาจากการเกิด
ของชั้นเด็กที่หนาขึ้นและอิทธิพลของกลไกการระบายด้วยแรงเฉือนที่เพิ่มขึ้น เมื่ออัตราการไหลของน้ำเพิ่มสูงขึ้น
ประสิทธิภาพในการจับเก็บฝุ่นจะสูงขึ้นเนื่องจากอิทธิพลของกลไกการเปิด-ปิดอัตราการไหลของน้ำอย่างเช่น
พลันหรือ Shuttering Effect ที่เพิ่มขึ้น แต่เมื่อมีการควบคุมช่วงเวลาการเปิด-ปิดอัตราการไหลของน้ำเป็นวัฏ
จักร พบร้าที่ช่วงเวลาของการเปิดอัตราการไหลของน้ำ 120 วินาที และมีการปิดอัตราการไหลของน้ำ 60 วินาที
จะให้ประสิทธิภาพในการจับเก็บฝุ่นที่สูงกว่ากรณีที่เปิดน้ำตลอดเวลา เนื่องจากในเวลาที่ปิดน้ำจะเกิดชั้นเด็กที่
ช่วยเพิ่มประสิทธิภาพในการจับเก็บฝุ่น และในช่วงที่เริ่มเปิดน้ำก็ยังมีชั้นเด็กเหลือมากกว่ากรณีที่เปิดน้ำตลอด
สำหรับลักษณะของการซึ่งตัวข่ายต่อประสิทธิภาพในการจับเก็บฝุ่นพบว่า ตัวข่ายที่ถูกชี้เอียง 10 องศาจาก
แนวตั้งไปด้านหน้าจะให้ประสิทธิภาพในการจับเก็บฝุ่นต่ำกว่าตัวข่ายแนวตั้ง ที่ส่วนราชการทดลองเดียวกัน เนื่อง
จากพิสูจน์น้ำจะเปียกบริเวณด้านหน้าของตัวข่ายได้ดีกว่า อนึ่งประสิทธิภาพสูงสุดในการจับเก็บฝุ่นที่ทำได้คือ
74.48 % สำหรับฝุ่นหิน และฝุ่น EVA เท่ากับ 79.15%

ภาควิชา.....	วิศวกรรมเคมี.....	ลายมือชื่อนิสิต.....	อ.ก้อนบูชา วนิล.....
สาขาวิชา.....	วิศวกรรมเคมี.....	ลายมือชื่ออาจารย์ที่ปรึกษา.....	
ปีการศึกษา.....	2545.....	ลายมือชื่ออาจารย์ที่ปรึกษาร่วม.....	

4370528021 : MAJOR CHEMICAL ENGINEERING

KEY WORD : DUST POLLUTION / WETTED SCREENS / SHUTTERING EFFECT

SUPAWAT NAKVIMON : EFFICIENCY TEST OF WETTED INCLINED SCREEN FOR
COLLECTING DUST BY ON-OFF CYCLE TIME CONTROL OF WATER.

THESIS ADVISOR : PROF. WIWUT TANTHAPANICHAKOON, Ph.D.

410 pp. ISBN 974-17-1611 -7

A dust collection system using HDPE (High Density Polyethylene) screen was constructed and its dust collection efficiency was investigated to obtain the effects of inlet dust concentrations, type of dust (stone dust and Ethyl Vinyl Acetate dust, EVA), superficial velocity of air through the screen, flow rate of irrigated water on the screen surface, on-off cycle time control of water flow rate and type of installed the screen (vertical vs. inclined forward by 10 degrees from the vertical screen). Furthermore, the phenomena associated with dust collection on the screen was also observed and the physical properties of the dusts were characterized.

The stone and EVA dusts are found to have median size diameter, D_{50} of 4.71 and 30.57 μm , respectively. Regarding the type of dust it is found that EVA dust collection efficiency is higher than stone dust at the same condition because the former has much larger mean size diameter than the latter. At the same superficial air velocity, it is found that the collection efficiency increases as the inlet dust concentration increases because the former of collecting dust. The efficiency increases when the superficial air velocity increases because of the caking on screen surface and impact inertial effect. It is found that the dust collection efficiency increase with the water flow rate because of the influence of shutting effect. As for the cyclic on-off control of water flow rate, it is found that turning on the water flow for 120 seconds and off for 60 seconds shows higher overall collection efficiency than the case of continuous water flow because of the remaining cake. The efficiency of the screen inclined 10 degrees forward from the vertical is higher than that of the vertical screen at the same condition because the former results in better wetting of the front side of the screen. The highest observed dust collection efficiencies of stone dust and EVA dust are 74.48 % and 79.15, respectively.

Department.....Chemical Engineering.....Student's singature.....*Supawat Nakvimon*

Field of study..... Chemical Engineering.....Advisor's singature.....*Wiwut Tanthapanichakoon*

ปีการศึกษา.....2002.....Co-advisor's singature.....

กิตติกรรมประกาศ

วิทยานิพนธ์ฉบับนี้สำเร็จลุล่วงได้ด้วยความช่วยเหลือจากหลายท่าน ผู้ที่มีวิจัยขอกราบขอบพระคุณ ศาสตราจารย์ ดร. วิวัฒน์ ตันตะพาณิชกุล อาจารย์ที่ปรึกษาวิทยานิพนธ์ ที่ได้ให้คำปรึกษาและนำต่างๆ ในการทำวิจัย ตลอดจนตรวจทานแก้ไขวิทยานิพนธ์จนเสร็จสมบูรณ์

ขอกราบขอบพระคุณ ผู้ช่วยศาสตราจารย์ ดร. วิจิตรา จงวิศาล ประธานกรรมการ ผู้ช่วยศาสตราจารย์ ดร. กัญญา มีชนะ และรองศาสตราจารย์ ดร. ธรรมชัย ชรินพาณิชกุล กรรมการสอบวิทยานิพนธ์ ซึ่งได้เสนอข้อคิดเห็นที่เป็นประโยชน์ และแก้ไขเพิ่มเติมส่วนที่บกพร่องของงานวิจัยนี้

ขอขอบพระคุณศูนย์เทคโนโลยีอุปกรณ์ไทย คณะวิศวกรรมศาสตร์ ที่ได้ให้ความสะดวกด้านสถานที่ และเครื่องมือวิเคราะห์วิจัยเกี่ยวกับสัดส่วนอุปกรณ์ที่จำเป็นสำหรับงานวิจัยนี้

งานวิจัยนี้ได้รับการสนับสนุนด้านงบประมาณจากทุนอุดหนุนการวิจัยของสำนักงานคณะกรรมการวิจัยแห่งชาติ (ทุนงบประมาณแผ่นดิน) จึงขอขอบพระคุณมา ณ ที่นี่

ขอขอบพระคุณ บริษัท โรงโม่หินพงษ์เทวนทร์ และบริษัท คอบปร้า จำกัด ที่ได้สนับสนุนตัวอย่างผุ่นในการศึกษา และคุณวชิรินทร์ แก้วมณีวรรณ ผู้ชี้แจงความช่วยประสานงานกับทางโรงโม่ ขอกราบขอบพระคุณ คุณพ่อ คุณแม่ และทุกคนในครอบครัว ที่ให้การสนับสนุน และให้กำลังใจตลอดเวลา จนงานวิจัยนี้สำเร็จลุล่วงไปได้ด้วยดี

และงานวิจัยชิ้นนี้คงไม่สามารถสำเร็จลุล่วงไปได้โดยหากปราศจาก พี่ใบ พี่ป้อม พี่ปึง เอี้ยด และพี่ๆ และเพื่อนๆ ที่ไม่ได้กล่าวถึงใน ณ ที่นี่ ที่ได้เคยให้กำลังใจ ให้ความช่วยเหลือและคำแนะนำต่างๆ ที่เป็นประโยชน์ ตลอดจนน้องๆ ในห้องปฏิบัติการเทคโนโลยีอุปกรณ์ไทยที่สร้างบรรยายกาศในการทำงาน จนทำให้งานวิจัยนี้สำเร็จลุล่วงไปได้ด้วยดี

สารบัญ

	หน้า
บทคัดย่อภาษาไทย.....	๑
บทคัดย่อภาษาอังกฤษ.....	๑
กิตติกรรมประการ.....	๒
สารบัญสารบัญตาราง.....	๓
สารบัญรูป.....	๔
คำอธิบายสัญลักษณ์และคำย่อ.....	๕
บทที่	
1. บทนำ.....	1
1.1 มูลเหตุจุ่งใจ.....	1
1.2 วัตถุประสงค์.....	3
1.3 ขอบเขตของงานวิจัย.....	3
1.4 ประโยชน์ที่คาดว่าจะได้รับ.....	3
2. ความรู้เบื้องต้น.....	4
2.1 ศัพท์และความหมาย.....	4
2.2 อันตรายของผู้นํา.....	6
2.2.1 อันตรายของผู้นําต่อสุขภาพ.....	6
2.2.2 อันตรายของผู้นําต่อสภาพแวดล้อม การทำงานและการดำเนินชีวิต.....	8
2.2.3 ผลกระทบอันเนื่องมาจากขนาดของผู้นํา.....	9
2.3 กระบวนการผลิตในโรงงานอุตสาหกรรม.....	10
2.3.1 กระบวนการผลิตของโรงโม่หิน.....	10
2.3.2 กระบวนการผลิตของโรงงานผลิตกระดาษได้คัลลีน.....	15
2.4 แหล่งกำเนิดฝุ่นในโรงงานอุตสาหกรรม.....	17
2.4.1 ชนิดของแหล่งกำเนิดและการควบคุมฝุ่นจากโรงโม่หิน.....	17
2.4.2 ชนิดของแหล่งกำเนิดและการควบคุมฝุ่นจากโรงงานผลิตกระดาษได้คัลลีน.....	34
2.4.3 ชนิดของเครื่องเก็บฝุ่นในอุตสาหกรรม.....	40
2.5 ระบบจับเก็บฝุ่นโดยใช้ตาข่ายเปียก.....	42
2.6 กลไกหลักในการจับเก็บฝุ่นด้วยตาข่ายเปียก.....	43
2.6.1 การกรองด้วยแรงเชือย.....	43
2.6.2 การแพร์.....	44
2.6.3 การสกัดกั่น.....	45
2.6.4 แรงดึงดูดเชิงไฟฟ้าสถิต.....	47
2.6.5 การเปิดและปิดอย่างฉบับพลันของฟิล์มน้ำ.....	47

สารบัญ (ต่อ)

หน้า

บทที่

2. ความรู้เบื้องต้น (ต่อ).....	47
2.6.6 การยึดตัวระหว่างอนุภาคกับวัสดุดักผุน.....	47
2.7 การประเมินประสิทธิภาพการจับเก็บผุนของเส้นใยเดี่ยว.....	48
2.8 มาตรฐานของความเข้มข้นผุน.....	48
2.9 การใช้ความทึบแสงในการประเมินความเป็นมลพิษของอนุภาคคลさら.....	50
2.10 การเก็บตัวอย่างอนุภาคคลさらแบบไอโซโคเนติก.....	52
2.11 การประเมินสมบัติการไหลของผุน.....	55
3. งานวิจัยที่เกี่ยวข้อง.....	64
4. วิธีดำเนินการทดลองวิจัย.....	71
4.1 วัสดุดิบ.....	71
4.2 อุปกรณ์ที่ใช้ในการทดลอง.....	72
4.3 สภาพะในการทดลอง.....	87
4.4 ขั้นตอนการทดลอง.....	89
5. ผลการทดลองและวิจารณ์ผล.....	93
5.1 การสอบเทียบอุปกรณ์การทดลอง.....	93
5.2 ผลการทดลองและวิจารณ์ผลการทดลองด้านลักษณะสมบัติ ของผุนหิน.....	97
5.3 ผลการทดลองและวิจารณ์ผลการทดลองที่สภาวะต่างๆ.....	104
5.3.1 อิทธิพลของความเข้มข้นผุนขาเข้าต่อประสิทธิภาพ การจับเก็บผุนโดยตัวช่วยเปี้ยก.....	104
5.3.2 อิทธิพลของอัตราการไหลของน้ำที่เคลื่อนผิวช่วยเปี้ยก ต่อประสิทธิภาพการจับเก็บผุนโดยตัวช่วยเปี้ยก.....	170
5.3.3 อิทธิพลของความเร็วลมปราภูบบริเวณตัวช่วยเปี้ยก ต่อประสิทธิภาพการจับเก็บผุนโดยตัวช่วยเปี้ยก.....	202
5.3.4 อิทธิพลของอัตราการไหลของน้ำที่เคลื่อนผิวช่วยเปี้ยก ต่อประสิทธิภาพการจับเก็บผุนโดยตัวช่วยเปี้ยกเมื่อมีการ ควบคุมเวลาการ เปิด-ปิดของน้ำเป็นวัฏจักร.....	264
5.3.5 อิทธิพลของอัตราการไหลของน้ำที่เคลื่อนผิวช่วยเปี้ยก ต่อผลต่างอุณหภูมิก่อนเข้าและหลังออกจากตัวช่วยเปี้ยก.....	312
5.4 ปรากฏการณ์ที่เกิดจากการจากจับเก็บผุนด้วยตัวช่วยเปี้ยก เมื่อบันทึกภาพด้วย กล้องถ่ายรูปวี.ดี.โอ.....	319

สารบัญ (ต่อ)

หน้า

บทที่	
6. สรุปผลการทดลองและข้อเสนอแนะ.....	328
6.1 สรุปผลการทดลอง.....	328
6.2 ข้อเสนอแนะ.....	330
รายการอ้างอิง.....	331
ภาคผนวก.....	336
ภาคผนวก ก.	337
ภาคผนวก ข.	343
ภาคผนวก ค.	363
ประวัติผู้เขียนวิทยานิพนธ์	403

สารบัญตาราง

ตารางที่	หน้า
2.1 จุดกำเนิดฝุ่นสำคัญและลักษณะการเกิดฝุ่นในกระบวนการผลิตของโรงโนรีทิน.....	22
2.2 แหล่งปล่อยฝุ่นและการควบคุมฝุ่นของโรงโนรีทิน (กมล ณัชนพวรรณ, 2540).....	25
2.3 อาการที่เป็นแหล่งกำเนิดฝุ่นและประเภทของฝุ่นหลักในโรงงานคอบบัว.....	34
2.4 แหล่งกำเนิดฝุ่นและการควบคุมฝุ่นในโรงงานคอบบัว.....	37
2.5 ข้อดีและข้อเสียของเครื่องเก็บฝุ่นประเภทต่างๆ.....	40
2.6 Evaluation of flowability index.....	60
2.7 Evaluation of floodability index.....	62
5.1 สมบัติการไหลของฝุ่นหิน และค่าเฉลี่ยของขนาดฝุ่นหินที่ 50% โดยปริมาตร (น้ำหนัก).....	99
5.2 สมบัติการไหลของฝุ่น EVA และค่าเฉลี่ยของขนาดฝุ่น EVA ที่ 50% โดยปริมาตร (น้ำหนัก).....	100

สารบัญรูป

รูปที่		หน้า
2.1	แผนภูมิการผลิตของโรงโน่นหินท่ำไป.....	13
2.2	แผนภูมิการผลิตของโรงงานควบคุมร้า.....	16
2.3	จุดกำเนิดและลักษณะการเกิดฝุ่นภายในโรงโน่นหิน.....	21
2.4	Rotary brush system.....	27
2.5	เครื่องทำความสะอาดสายพานแบบต่างๆ.....	28
2.6	ตำแหน่งต่างๆ ของการติดตั้งเครื่องทำความสะอาดสายพาน.....	28
2.7	ลักษณะการติดตั้ง CAREX เพื่อควบคุมฝุ่นบริเวณ Chute อย่างมีคุณภาพ.....	29
2.8	Encapsulation system.....	29
2.9	รถดูดฝุ่น Johnston 200 HSC compact sweeper.....	30
2.10	Standard wheel washer.....	30
2.11	Drive through wash.....	31
2.12	การนำหัวที่ใช้แล้วกลับมาใช้ใหม่ ในเครื่องล้างรถ.....	31
2.13	การติดตั้งหัวฉีดสเปรย์ ภายใต้บริเวณพื้นที่ของโรงโน่นหิน.....	32
2.14	ไดอะแกรมแสดงตำแหน่งการติดตั้งหัวฉีดในโรงโน่นหิน.....	32
2.15	กระบวนการตัดและเจียร์จากแผ่นกซ่อมเรือ.....	38
2.16	กระบวนการขึ้นรูปโฟม.....	38
2.17	กระบวนการขัดแต่ง Laminating.....	39
2.18	กระบวนการปีว.....	39
2.19	หลักการที่ฝุ่นในกระแสงก้าชสกปรกชนและเกาบติดกับหยดของเหลว เนื่องจาก แรงเฉียบ.....	44
2.20	อนุภาคที่เคลื่อนไหวแบบบรรทัดเส้น.....	45
2.21	ลักษณะที่อนุภาคสัมผัสและเกาบติดกับผิวของทางโดยกลไกการสกัดกัน.....	46
2.22	ความสัมพันธ์ระหว่างประสิทธิภาพการเก็บฝุ่นโดยการกรบทบด้วยแรงเฉียบ กับค่าพารามิเตอร์แรงเฉียบของอนุภาค.....	46
2.23	หลักการทำงานของ Opacity Meter.....	50
2.24	การประยุกต์ใช้ Opacity Meter ในการวัดความทึบแสงจากปล่อง.....	51
2.25	การเก็บตัวอย่างที่เลือกเก็บอนุภาค เนื่องจากไม่เป็นแบบไฮโคเนติก.....	52
2.26	ความสัมพันธ์ระหว่าง $f(St)$ และ St	54
2.27	Measurement of angle of repose.....	56
2.28	Measurement of angle of spatula.....	57
2.29	Device for measuring dispersibility.....	61
2.30	Powder characteristic tester.....	63
4.1	แผนผังแสดงขั้นตอนการเตรียมวัสดุติดก่อนการทดลองและวิจัย.....	72
4.2	ลักษณะของเครื่องทดสอบสมบดีของวัสดุ.....	74

สารบัญรูป (ต่อ)

รูปที่	หน้า
4.3 ภาพถ่ายของเครื่องผลิตวัสดุ.....	74
4.4 ภาพถ่ายของเครื่องร่อนแยกขนาดแบบสั้น.....	75
4.5 ภาพถ่ายเครื่องวัดความเร็วลม.....	76
4.6 ภาพถ่ายของส่วนตัวเครื่องวัดผลต่างความดัน.....	76
4.7 ภาพถ่ายของเทอร์มิคัปเปอร์.....	77
4.8 ภาพถ่ายเฉพาะส่วนตัวเครื่องแสดงผล.....	78
4.9 ภาพถ่ายของเครื่องรับและบันทึกค่าสัญญาณ.....	78
4.10 ภาพถ่ายของกล่องควบคุมแบบโปรแกรม.....	79
4.11 ภาพถ่ายของกล่องถ่ายภาพ วี.ดี.ไอ.....	80
4.12 ภาพถ่ายของเครื่องกำเนิดลม.....	81
4.13 ภาพถ่ายของเครื่องป้อนชนิดแม่น้ำ.....	81
4.14 ภาพถ่ายของปั๊มสูญญากาศ.....	82
4.15 ไดอะแกรมชุดอุปกรณ์ระบบจับเก็บฝุ่นโดยใช้ตาข่าย.....	84
4.16 ภาพถ่ายของชุดอุปกรณ์ระบบจับเก็บฝุ่นโดยใช้ตาข่าย.....	85
4.17 ภาพถ่ายของกล่องติดตาข่ายจับเก็บฝุ่นแบบแนวตั้ง.....	86
4.17 ภาพถ่ายของกล่องติดตาข่ายจับเก็บฝุ่นแบบเอียง 10 องศาจากแนวตั้ง.....	86
4.18 ผังแสดงขั้นตอนการทดลองด้านลักษณะสมบัติของฝุ่น.....	89
4.19 ผังแสดงขั้นตอนการทดลองด้านการหาประสิทธิภาพของการจับเก็บฝุ่นโดย ใช้ตาข่ายเบี้ยก.....	91
5.1 การกระจายขนาดของฝุ่นหิน จากโรงโน้ม บด และอยหิน (Size Distribution).....	101
5.2 การกระจายขนาดของฝุ่น EVA จากโรงงานผลิตและขึ้นรูปกระบวนการตัดคลื่น (Size Distribution)	102
5.3 ลักษณะของฝุ่น EVA จากโรงงานผลิตและขึ้นรูปกระบวนการตัดคลื่น ขยาย 1000 เท่า.....	103
5.4 ลักษณะของฝุ่นหินจากโรงโน้ม บด และอยหิน ขยาย 5000 เท่า.....	103
5.5 แสดงความสัมพันธ์ระหว่างประสิทธิภาพและความเข้มข้นฝุ่นขาเข้า ในกรณีตาข่ายแนวตั้ง ที่อัตราการไหลของน้ำเท่ากับ 0 ลบ.ซม./วินาที.....	106
5.6 แสดงความสัมพันธ์ระหว่างประสิทธิภาพและความเข้มข้นฝุ่นขาเข้า ในกรณีตาข่ายแนวตั้ง ที่อัตราการไหลของน้ำเท่ากับ 8.07 ลบ.ซม./วินาที.....	106
5.7 แสดงความสัมพันธ์ระหว่างประสิทธิภาพและความเข้มข้นฝุ่นขาเข้า ในกรณีตาข่ายแนวตั้ง ที่อัตราการไหลของน้ำเท่ากับ 91.20 ลบ.ซม./วินาที.....	107
5.8 แสดงความสัมพันธ์ระหว่างประสิทธิภาพและความเข้มข้นฝุ่นขาเข้า ในกรณีตาข่ายเอียง ที่อัตราการไหลของน้ำเท่ากับ 0 ลบ.ซม./วินาที.....	110

สารบัญรูป (ต่อ)

สารบัญรูป (ต่อ)

รูปที่	หน้า
5.21 แสดงความสัมพันธ์ระหว่างประสิทธิภาพและความเข้มข้นผุน EVA ขาเข้า ในกรณีต่าข่ายแนวตั้ง ที่อัตราการไหลของน้ำเท่ากับ 8.07 ลบ.ซม./วินาที เมื่อมีการควบคุมช่วงเวลาการเปิด-ปิด อัตราการไหลของน้ำเป็นวัฏจักร เปิด 60 ปิด 60 วินาที.....	128
5.22 แสดงความสัมพันธ์ระหว่างประสิทธิภาพและความเข้มข้นผุน EVA ขาเข้า ในกรณีต่าข่ายแนวตั้ง ที่อัตราการไหลของน้ำเท่ากับ 91.20 ลบ.ซม./วินาที เมื่อมีการควบคุมช่วงเวลาการเปิด-ปิด อัตราการไหลของน้ำเป็นวัฏจักร เปิด 60 ปิด 60 วินาที.....	128
5.23 แสดงความสัมพันธ์ระหว่างประสิทธิภาพและความเข้มข้นผุน EVA ขาเข้า ในกรณีต่าข่ายเอียง ที่อัตราการไหลของน้ำเท่ากับ 8.07 ลบ.ซม./วินาที เมื่อมีการควบคุมช่วงเวลาการเปิด-ปิด อัตราการไหลของน้ำเป็นวัฏจักร เปิด 60 ปิด 60 วินาที.....	131
5.24 แสดงความสัมพันธ์ระหว่างประสิทธิภาพและความเข้มข้นผุน EVA ขาเข้า ในกรณีต่าข่ายเอียง ที่อัตราการไหลของน้ำเท่ากับ 91.20 ลบ.ซม./วินาที เมื่อมีการควบคุมช่วงเวลาการเปิด-ปิด อัตราการไหลของน้ำเป็นวัฏจักร เปิด 60 ปิด 60 วินาที.....	131
5.25 แสดงความสัมพันธ์ระหว่างประสิทธิภาพและความเข้มข้นผุนขาเข้า ในกรณีต่าข่ายแนวตั้ง ที่อัตราการไหลของน้ำเท่ากับ 8.07 ลบ.ซม./วินาที เมื่อมีการควบคุมช่วงเวลาการเปิด-ปิด อัตราการไหลของน้ำเป็นวัฏจักร เปิด 120 ปิด 60 วินาที.....	134
5.26 แสดงความสัมพันธ์ระหว่างประสิทธิภาพและความเข้มข้นผุนขาเข้า ในกรณีต่าข่ายแนวตั้ง ที่อัตราการไหลของน้ำเท่ากับ 91.20 ลบ.ซม./วินาที เมื่อมีการควบคุมช่วงเวลาการเปิด-ปิด อัตราการไหลของน้ำเป็นวัฏจักร เปิด 120 ปิด 60 วินาที.....	134
5.27 แสดงความสัมพันธ์ระหว่างประสิทธิภาพและความเข้มข้นผุนขาเข้า ในกรณีต่าข่ายเอียง ที่อัตราการไหลของน้ำเท่ากับ 8.07 ลบ.ซม./วินาที เมื่อมีการ ควบคุมช่วงเวลาการเปิด-ปิด อัตราการไหลของน้ำเป็นวัฏจักร เปิด 120 ปิด 60 วินาที.....	137

สารบัญรูป (ต่อ)

สารบัญรูป (ต่อ)

สารบัญรูป (ต่อ)

สารบัญรูป (ต่อ)

สารบัญรูป (ต่อ)

สารบัญรูป (ต่อ)

สารบัญรูป (ต่อ)

สารบัญรูป (ต่อ)

สารบัญรูป (ต่อ)

สารบัญรูป (ต่อ)

สารบัญรูป (ต่อ)

สารบัญรูป (ต่อ)

สารบัญรูป (ต่อ)

สารบัญรูป (ต่อ)

สารบัญรูป (ต่อ)

สารบัญรูป (ต่อ)

สารบัญรูป (ต่อ)

สารบัญรูป (ต่อ)

สารบัญรูป (ต่อ)

รูปที่		หน้า
5.195 รูปแสดงลักษณะการติดตั้งกล้องถ่ายภาพวี.ดี.โอล	319
5.196 แสดงรูปถ่ายปรากฏการณ์การเกะดัวของอนุภาคฝุ่นหินเมื่อไม่มีอัตราการไหลของน้ำที่ความเร็วตามปกติน้ำตาข่ายเท่ากับ 0.79 เมตรต่อวินาที ความเข้มข้นฝุ่นขาเข้าเท่ากับ 23.87 กรัมต่อลูกบาศก์เมตร	320
5.197 แสดงรูปถ่ายปรากฏการณ์การเกะดัวของอนุภาคฝุ่นหินเมื่อไม่มีอัตราการไหลของน้ำที่ความเร็วตามปกติน้ำตาข่ายเท่ากับ 0.79 เมตรต่อวินาที ความเข้มข้นฝุ่นขาเข้าเท่ากับ 14.77 กรัมต่อลูกบาศก์เมตร	321
5.198 แสดงรูปถ่ายปรากฏการณ์การจับฝุ่นแบบการกระทบด้วยแรงเฉียบ เมื่ออัตราการไหลของน้ำเท่ากับ 8.07 ลูกบาศก์เซนติเมตรต่อวินาทีที่ความเร็วตามปกติน้ำตาข่ายเท่ากับ 0.79 เมตรต่อวินาที ความเข้มข้นฝุ่นขาเข้าเท่ากับ 14.77 กรัมต่อลูกบาศก์เมตร หลังสิ้นสุดการทดลอง	321
5.199 แสดงรูปถ่ายปรากฏการณ์การจับฝุ่นแบบการกระทบด้วยแรงเฉียบ เมื่ออัตราการไหลของน้ำเท่ากับ 8.07 ลูกบาศก์เซนติเมตรต่อวินาทีที่ความเร็วตามปกติน้ำตาข่ายเท่ากับ 0.79 เมตรต่อวินาที ความเข้มข้นฝุ่นขาเข้าเท่ากับ 14.77 กรัมต่อลูกบาศก์เมตร	322
5.200 แสดงรูปถ่ายปรากฏการณ์การจับฝุ่นแบบการกระทบด้วยแรงเฉียบ เมื่ออัตราการไหลของน้ำเท่ากับ 8.07 ลูกบาศก์เซนติเมตรต่อวินาทีที่ความเร็วตามปกติน้ำตาข่ายเท่ากับ 0.79 เมตรต่อวินาที ความเข้มข้นฝุ่นขาเข้าเท่ากับ 14.77 กรัมต่อลูกบาศก์เมตร หลังสิ้นสุดการทดลอง	323
5.201 แสดงรูปถ่ายปรากฏการณ์ Shuttering Effect เมื่ออัตราการไหลของน้ำเท่ากับ 8.07 ลูกบาศก์เซนติเมตรต่อวินาทีที่ความเร็วตามปกติน้ำตาข่ายเท่ากับ 0.79 เมตรต่อวินาที	324
5.202 แสดงรูปถ่ายปรากฏการณ์ Shuttering Effect เมื่ออัตราการไหลของน้ำเท่ากับ 91.20 ลูกบาศก์เซนติเมตรต่อวินาทีที่ความเร็วตามปกติน้ำตาข่ายเท่ากับ 0.79 เมตรต่อวินาที	325
5.203 แสดงรูปถ่ายปรากฏการณ์การเกะดัวของอนุภาคฝุ่น EVA เมื่อไม่มีอัตราการไหลของน้ำที่ความเร็วตามปกติน้ำตาข่ายเท่ากับ 2.169 เมตรต่อวินาที ความเข้มข้นฝุ่นขาเข้าเท่ากับ 10.651 กรัมต่อลูกบาศก์เมตร	326
5.204 แสดงรูปถ่ายปรากฏการณ์การเกะดัวของอนุภาคฝุ่น EVA เมื่อไม่มีอัตราการไหลของน้ำที่ความเร็วตามปกติน้ำตาข่ายเท่ากับ 2.169 เมตรต่อวินาที ความเข้มข้นฝุ่นขาเข้าเท่ากับ 10.651 กรัมต่อลูกบาศก์เมตร	327

คำอธิบายสัญลักษณ์ และคำย่อ

C	คือ ความเข้มข้นฝุ่นที่วัดได้จากการเก็บตัวอย่าง	[g/m^3]
C_i	คือ ความเข้มข้นฝุ่นขนาดระบบ	[g/m^3]
C_0	คือ ความเข้มข้นฝุ่นที่แท้จริง	[g/m^3]
D	คือ เส้นผ่านศูนย์กลางภายในหัวดูด	[cm]
D_f	คือ เส้นผ่านศูนย์กลางของเส้นไขด้าย	[μm]
D_p	คือ เส้นผ่านศูนย์กลางของอนุภาคฝุ่น	[μm]
D_w	คือ เส้นผ่านศูนย์กลางของหยดน้ำ	[μm]
R	คือ พารามิเตอร์การสกัดกั่น	[$-$]
Re	คือ ตัวเลขเรย์โนลด์	[$-$]
Re_f	คือ ตัวเลขเรย์โนลด์ของเส้นไขด้าย	[$-$]
St	คือ ตัวเลขสโตกส์	[$-$]
t	คือ เวลา	[s]
U_0	คือ ความเร็วของกระแสก๊าซ	[m/s]
U	คือ ความเร็วของก๊าซในหัวดูด	[m/s]
U_R	คือ ความเร็วลมสัมพัทธ์ระหว่างหยดละอองน้ำกับอนุภาคฝุ่น	[m/s]
V_i	คือ ความเร็วลมขาเข้าบริเวณตาข่ายเปียก	[m/s]
ψ	คือ พารามิเตอร์แรงเนื้อเยื่อ	[$-$]
ρ	คือ ความหนาแน่น	[kg/m^3]
μ	คือ ความหนืด	[$\text{kg}/\text{m.s}$]
α	คือ อัตราส่วนของปริมาตรทั้งหมดของทุกเส้นไขด้ายต่อปริมาตรของตัวกรอง	[$-$]
η_{ot}	คือ ประสิทธิภาพของเส้นไขด้ายโดยกลไกการกรองด้วยแรงเนื้อเยื่อ	[$-$]

ตัวหน้อย (Subscript)

a	คือ อากาศ
p	คือ อนุภาคฝุ่น